

# PARP-1 体外活性测定方法的建立及其应用

陈 蕴， 杨雪丽， 周海燕， 黄 超， 王文龙， 龚笑海， 冯柏年， 金 坚<sup>\*</sup>  
 (江南大学 药学院,江苏 无锡 214122)

**摘要：**建立 PARP-1 的体外活性测定方法并对 84 个具有潜在 PARP 抑制活性的化合物进行筛选。从 Sf9 昆虫细胞中提取酶液,以 NAD<sup>+</sup>为底物,DNA 为激活剂,建立 PARP-1 的活性测定方法;以高通量技术参数评价此方法,用已知 PARP 抑制剂进行验证,并以此方法进行 PARP 抑制剂的筛选。结果显示,确定的酶促反应体系为:12.5 nmol/L NAD<sup>+</sup>,15 μg/mL DNA,6.25×10<sup>-4</sup> U PARP-1。评价 Z' 因子为 0.76,S/B 值为 3.58。基于此模型筛出 47 个化合物在浓度 7.4 μmol/L 时对 PARP-1 的抑制率达到 60%以上。表明所建立的 PARP-1 活性测定方法,适用于 PARP-1 抑制剂的高通量筛选。

**关键词：**多聚二磷酸腺苷核糖基聚合酶-1;活性测定;抑制剂;高通量筛选

中图分类号:Q 556.2;R 965.1 文献标志码:A 文章编号:1673—1689(2015)03—0324—06

## Establishment and Application of Enzymatic Assay for Poly(ADP-Ribose) Polymerase-1

CHEN Yun, YANG Xueli, ZHOU Haiyan, HUANG Chao,  
WANG Wenlong, GONG Xiaohai, FENG Bainian, JIN Jian<sup>\*</sup>  
 (School of Pharmaceutical Sciences, Jiangnan University, Wuxi 214122, China)

**Abstract:** To establish an enzymatic assay for poly (ADP-ribose) polymerase-1 and screen PARP inhibitors from 84 potential compounds. Crude PARP-1 was extracted from Sf9 insect cells. With nicked DNA as activator,PARP-1 was used to catalyze the hydrolysis of the substrate NAD<sup>+</sup>,the RFU value measured from the remaining NAD<sup>+</sup> was used to evaluate the activity of PARP-1 or efficiency of PARP inhibitors. A 96-microwell screening method was set up by optimizing the reaction system.The screening method was assessed with high throughput index,such as Z' factor, signal to back ground (S/B) and validated by well-known PARP inhibitors such as PHE,DPQ and AZD2281. 84 compounds were assayed for PARP inhibition through the established method. The enzymatic reaction system was optimized as:12.5 nmol/L NAD<sup>+</sup>,15 μg/mL DNA,6.25×10<sup>-4</sup> U PARP-1. The Z' factor is 0.76,S/B is 3.58 and the IC<sub>50</sub> of PHE,DPQ and AZD2281 is 562.4 nmol/L,369.6 nmol/L and 6.8 nmol/L. There are 47 compounds showed 60% or more PARP-1 inhibition efficiency at the concentration of 7.4 μmol/L. An enzymatic assay of PARP-1 was successfully established. It can be effectively applied to high-throughput screening for PARP inhibitors.

**Keywords:** poly(ADP-ribose) polymerase-1, enzymatic assay, inhibitors, high-throughput screening

收稿日期: 2014-04-14

作者简介: 陈 蕴(1972—),女,上海崇明人,工学硕士,讲师,主要从事药理学研究。Email:chenyun72@126.com

\* 通信作者: 金 坚(1960—),男,浙江东阳人,教授,博士研究生导师,主要从事药物设计与分子药理学研究。E-mail:jinjian31@126.com

PARP(Poly (ADP-ribose) polymerase,聚 ADP核糖基聚合酶)是一种参与翻译后修饰的核蛋白质,能催化 $\beta$ -NAD<sup>+</sup>脱去烟酰胺生成 PAR (poly (ADP-ribose)),与多种接受体蛋白质形成酯键连接,进而影响多种细胞过程。至今已发现 18 种 PARPs,其功能各异也有交叉,参与 DNA 修复、转录控制、基因稳定和细胞死亡和转化等过程<sup>[1-2]</sup>。

PARP-1 参与细胞内 90%以上的聚 ADP-ribose 作用,在糖尿病并发症、动脉粥样硬化、感染性休克、关节炎等疾病过程中发挥重要作用<sup>[3-4]</sup>。此外,PARP-1 因与其产物 PAR 参与 DNA 碱基切除修复过程,PARP 抑制剂在肿瘤治疗中成为联合用药及放射增敏的有效选择<sup>[5]</sup>。虽然 Pfizer 开发的 PARP 抑制剂 AG014699 在 2003 年首先联合 Temozolomide 用药进入癌症治疗的临床研究<sup>[6]</sup>,但至今仍未有正式上市的 PARP 抑制剂,这些都为 PARP 抑制剂的相关研究和研制,提供了有效的参考价值<sup>[7]</sup>和可能的广阔市场前景。

中国药科大学<sup>[8]</sup>和北京协和医学院药物研究所曾在多种中药及天然药物中筛选 PARP-1 抑制剂,但 PARP-1 的制备和体外筛选方法的建立仍制约着新型 PARP 抑制剂在我国的研究和发展。作者所在实验室前期已成功利用杆状病毒/昆虫细胞进行 hPARP-1 的高表达<sup>[9]</sup>,解决了 PARP-1 的制备问题。如何利用获得的 PARP-1 建立灵活稳定的 PARP 抑制剂高通量筛选方法,即是本课题研究中拟解决的关键问题。

## 1 材料与方法

### 1.1 细胞、试剂与仪器

表达 PARP-1 的 Sf9 昆虫细胞由作者所在实验室保存,筛选样品由江南大学药学院冯柏年教授提供。Deoxyribonucleic acid from calf thymus Type XV, Activated, 购于 Sigma 公司; NAD<sup>+</sup> 氧化型辅酶 I , Roche 公司产品; 96 孔白板, Corning Costar 公司产品; AZD2281 (Ku-0059436, Olaparib), 购于 Selleck 公司; 其他化学试剂均为国药集团分析纯。

所用荧光化学发光微孔板读数仪型号为 Thermo Scientific Fluoroskan Ascent FL。

### 1.2 方法

#### 1.2.1 PARP-1 制备

1 000 g 离心 5 min 收集细胞,弃上清液,用裂解液 (25 mmol/L Tris-HCl,

10 mmol/L EDTA, 50 mmol/L 葡萄糖, 1 mol/L NaCl, 质量分数 0.02% Tween-20, 0.5 mmol/L PMSF, pH 8.0) 重悬细胞。冰浴超声破碎, 15 000 g, 4 °C 离心 40 min, 收集上清液, 低温透析将裂解液置换为存储液 (25 mmol/L Tris-HCl, 200 mmol/L NaCl, 1.5 mmol/L BSA, 质量分数 1% TritonX-100, 体积分数 50% 甘油, pH 8.0), 活性测定后分装保存于 -80 °C 冰箱。

**1.2.2 NAD<sup>+</sup>的转化反应原理** NAD<sup>+</sup>在碱性条件下与苯乙酮反应后,与过量的甲酸经加热反应转化为高荧光活性物质,通过测定生成物的荧光值来检测反应物 NAD<sup>+</sup>的量<sup>[10]</sup>。利用反应缓冲液 (50 mmol/L Tris-HCl, 2 mmol/L MgCl<sub>2</sub>, pH 8.0) 将 NAD<sup>+</sup>稀释成不同浓度,以每孔 30 μL 加入 96 孔板, 每个浓度 4 个复孔,于室温条件下轻微振荡 15 min; 加入 10 μL 2 mmol/L KOH 和 10 μL 体积比 1/5 的苯乙酮-乙醇, 4 °C/25 °C 反应 5~15 min; 加入 50 μL 体积分数 88% 甲酸 (终体积分数为 44%), 110 °C 反应 5 min; 室温平衡 10~40 min, 荧光化学发光分析仪检测, 激发波长 355 nm, 发射波长 460 nm。RFU: Relative Fluorescence Units, 相对荧光单位。

**1.2.3 PARP-1 活性测定原理** PARP-1 被 DNA 激活后以 NAD<sup>+</sup>为底物进行催化反应, 通过测定剩余 NAD<sup>+</sup>的量, 可检测出 PARP-1 消耗的 NAD<sup>+</sup>的量, 从而反映出 PARP-1 的相对活性。将 PARP-1 与 DNA 以不同浓度混合至 20 μL, 加入 40 μL NAD<sup>+</sup>(终浓度为 12.5 nmol/L), 每个浓度 4 个复孔, 只含有 DNA 的为空白对照, 不含 PARP-1 的为阴性对照, 含 PARP-1 的为试验组, 室温轻微振荡 15 min; 加入 20 μL 2 mmol/L KOH 和 20 μL 体积比 1/5 的苯乙酮-乙醇, 4 °C 反应 10 min; 加入 100 μL 体积分数 88% 甲酸, 110 °C 反应 5 min; 室温平衡 30 min, 荧光化学发光分析仪检测。相对酶活力

$$X_{\text{rea}} = \frac{\text{RFU}_{\text{negative}} - \text{RFU}_{\text{test}}}{\text{RFU}_{\text{negative}} - \text{RFU}_{\text{blank}}} \quad (1)$$

酶活性单位: 12.5 nmol/L NAD<sup>+</sup>与酶在 15 μg/mL DNA 激活作用下于室温反应 15 min, 1 min 内转化 1 μmol/L NAD<sup>+</sup>所需的酶用量定义为 1 U。

**1.2.4 PARP-1 抑制剂高通量筛选方法评价** Z' 因子是用来评估高通量筛选模型的一种重要技术参数, 当  $Z' > 0.5$  时才认为该模型是可行的,  $Z'$  因子越接近 1.0, 表明该模型的可靠性和可行性越高<sup>[11]</sup>。可

根据公式(2)计算:

$$Z' = 1 - \frac{3(\text{SD}_{\text{sig}} + \text{SD}_{\text{back}})}{|\bar{M}_{\text{sig}} - \bar{M}_{\text{back}}|} \quad (2)$$

式(2)中:SD 为标准差;  $\bar{M}$  为平均值; “sig”体系: 不加 PARP-1, 只含 12.5 nmol/L NAD<sup>+</sup>和 15 μg/mL DNA; “back” 体系: 12.5 nmol/L NAD<sup>+</sup>, 15 μg/mL DNA,  $6.25 \times 10^{-4}$  U PARP-1。按照上述反应条件取多个孔的数据进行计算分析。信号本底比( $S/B$ )反映的是筛选模型获得的数据与本底数据之间的距离。一般情况下, 信号本底比的数值应大于 3<sup>[12]</sup>, 其计算公式为

$$S/B = \bar{M}_{\text{sig}} / \bar{M}_{\text{back}} \quad (3)$$

**1.2.5 化合物的 PARP-1 抑制活性测定** 所有测定样品由 DMSO 溶解并配制成 10 mmol/L。化合物适当稀释后以每孔 4 μL 加入 96 孔板, PARP-1 和 DNA 混合后以反应缓冲液补足至 16 μL, 加入 40 μL NAD<sup>+</sup>(终浓度: 12.5 nmol/L NAD<sup>+</sup>, 15 μg/mL DNA,  $6.25 \times 10^{-4}$  U PARP-1), 3 个复孔, 室温轻微振荡 15 min; 后续步骤同 1.2.3。只含 NAD<sup>+</sup>和 DNA 的为阴性对照组, 只含 NAD<sup>+</sup>、DNA 和 PARP-1 的为阳性对照组, 含化合物的为试验组。抑制率

$$R = \frac{\text{RFU}_{\text{test}} - \text{RFU}_{\text{positive}}}{\text{RFU}_{\text{negative}} - \text{RFU}_{\text{positive}}} \quad (4)$$

以 GraphPad Prism 5.0 计算 IC<sub>50</sub>。

**1.2.6 数据分析** 所有实验数据均以  $\bar{x} \pm s$  表示, 以 GraphPad Prism 5.0 进行统计分析, 其中 \* 表示  $p < 0.05$ ; \*\* 表示  $p < 0.01$ ; \*\*\* 表示  $p < 0.001$ 。

## 2 结果与讨论

### 2.1 NAD<sup>+</sup>反应条件的确定

NAD<sup>+</sup>与苯乙酮在 4 °C 作用 10 min, 时间较短, 温度难以控制, 为了解该步骤对最终结果的影响, 对该反应条件的温度和时间分别进行探索。图 1(a) 是 NAD<sup>+</sup>浓度在 0~100 nmol/L 时, 与苯乙酮在 4 °C 或 25 °C 条件下反应 10 min 的结果, 测得 RFU 值并无差异, 表明此反应中温度对结果并无影响, 为减少苯乙酮的挥发, 后续实验选择 4 °C 作为反应温度。图 1(b) 是 0~100 nmol/L NAD<sup>+</sup>与苯乙酮在 4 °C 条件下作用不同时间的结果, NAD<sup>+</sup>浓度较高时, 反应 5 min 与反应 10 min 的 RFU 值显示出一定的差异, 而 10 min 与 15 min 时的无差异, 由此表明该浓度范围内的 NAD<sup>+</sup>与苯乙酮在 10 min 内即可反应完

全, 后续实验确定 10 min 为反应时间。NAD<sup>+</sup>与苯乙酮反应后, 需要加入终体积分数 44% 的甲酸, 于 110 °C 反应 5 min, 然后室温平衡后测定。为得到稳定的结果, 实验探索了平衡时间对 RFU 值的影响, 结果如图 1(c) 所示, NAD<sup>+</sup>浓度为 12.5 nmol/L 时, 反应平衡 30 min 后 RFU 逐渐趋于稳定, 后续实验以 30 min 作为平衡时间。

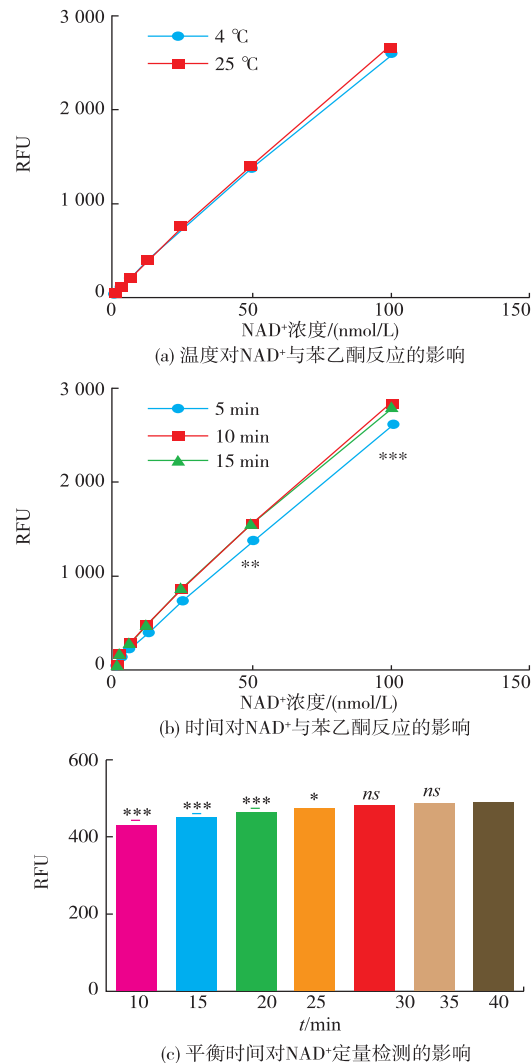


图 1 NAD<sup>+</sup>的化学定量反应条件

Fig. 1 Reaction conditions of NAD<sup>+</sup> conversion

### 2.2 底物 NAD<sup>+</sup>浓度的确定

为减少后续实验误差, 将酶反应体系扩大至 60 μL, 测定 NAD<sup>+</sup>浓度的标准曲线以选择底物用量。结果见图 2, NAD<sup>+</sup>浓度在 0.1~100 nmol/L 时与 RFU 值呈良好的线性关系, 实验中测得不含 NAD<sup>+</sup>的空白组 RFU 值为  $5.0 \pm 0.2$ , 选取 RFU 值  $500 \pm 20$  为后续实验的阴性值, 此时信噪比为 100, 可有效减

少背景值对实验结果的影响, 相对应的 NAD<sup>+</sup>浓度即 12.5 nmol/L 作为底物工作浓度。

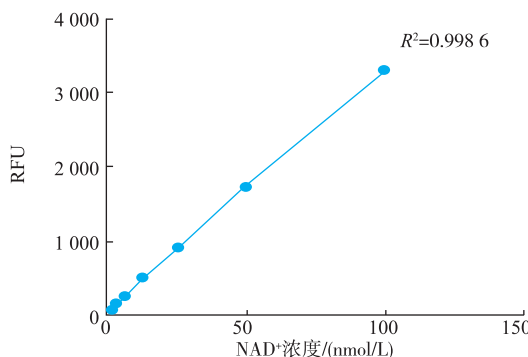


图 2 底物 NAD<sup>+</sup>与 RFU 值的线性关系

Fig. 2 NAD<sup>+</sup> concentration is in a linear relationship with fluorescence intensity

### 2.3 激活剂 DNA 浓度的确定

以 12.5 nmol/L NAD<sup>+</sup>作为底物, 通过优化 DNA 浓度以提高 PARP-1 对 NAD<sup>+</sup>的催化作用, 结果见图 3, 选取 3 个不同的 PARP-1 用量, 随着 DNA 浓度的增加, PARP-1 的活性不断增加, 但在 10 μg/mL 达到最高值, 继续增加 DNA 浓度 PARP-1 活性并无提高, 为确保反应中 PARP-1 的最高活性, 选取 15 μg/mL 作为 DNA 的工作质量浓度。

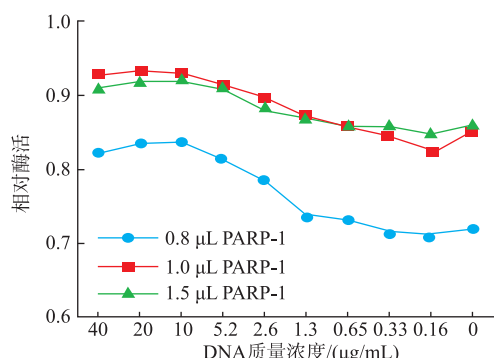


图 3 DNA 质量浓度对 PARP-1 活性的影响

Fig. 3 Effects of DNA concentration on PARP-1 activity

### 2.4 PARP-1 酶的稳定性验证及 DMSO 体积分数对 PARP-1 活性的影响

将 PARP-1 在室温条件下放置 0~60 min 后分别进行测定, 结果发现 PARP-1 活性基本无变化, 如图 4(a)所示。后续化合物筛选过程中以 DMSO 作母液, 为排除 DMSO 对结果的影响, 测定了不同 DMSO 体积分数对 PARP-1 活性的影响, 结果如图 4(b)所示, 反应体系 DMSO 体积分数高于 2.7% 时对 PARP-1 的活性有显著抑制作用。

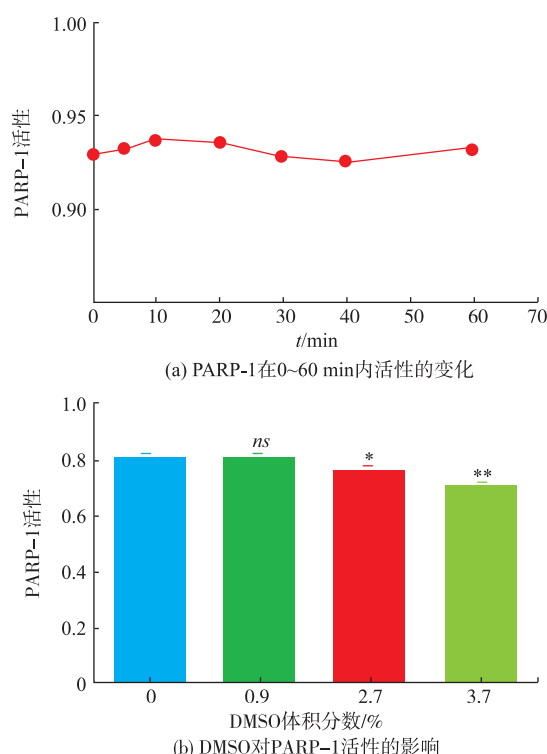


图 4 PARP-1 的稳定性

Fig. 4 Activity changes of PARP-1

### 2.5 PARP-1 酶的用量的确定

从 1 L 昆虫细胞 ( $2 \times 10^6$  mL<sup>-1</sup>) 中共获得 30 mL PARP-1 粗酶液。15 μg/mL DNA 激活作用下, 不同浓度 PARP-1 对 12.5 nmol/L NAD<sup>+</sup>的作用结果如图 5 所示, 随着酶用量增加, 反应剩余底物不断减少。设置 S/B 值为 4, 将反应 15 min 后 NAD<sup>+</sup>(12.5 nmol/L) 消耗至 (25±2)% ((3.125±0.25) nmol/L) 时的酶活力单位数 ( $6.25 \times 10^{-4}$  U) 作为 PARP-1 的用量, 结果表明该批次粗酶液约 0.6 μL 即可达到该筛选体系所需要的 PARP-1 用量。

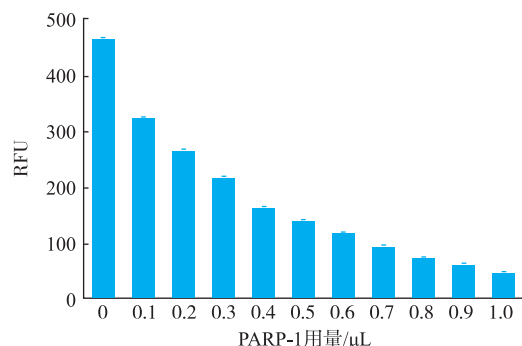


图 5 PARP-1 活性测定

Fig. 5 PARP-1 activity assays

## 2.6 高通量技术参数评价

为了验证该方法的稳定性和可靠性,以高通量技术参数进行评价,得到“sig”值为 $478\pm 8$ ,“back”值为 $133\pm 20$ ,计算 $Z'$ 为0.76, $S/B=3.58$ 。因此可认为该反应体系适用于PARP-1抑制剂的高通量筛选。

## 2.7 已知PARP抑制剂的验证实验

选取3个已知PARP-1抑制剂对上述筛选方法进行验证,结果见图6,测得PHE、DPQ、AZD2281的 $IC_{50}$ 分别为562.4、369.6、6.8 nmol/L,因此可认为本模型是一种高效灵敏的PARP抑制剂的活性测定方法。

## 2.8 化合物筛选

对84个具有潜在PARP抑制活性的化合物进行初步筛选,结果如图7所示,相同浓度的不同化

合物表现出对PARP-1活性的不同抑制作用,其中抑制率高于0.6的有47个。

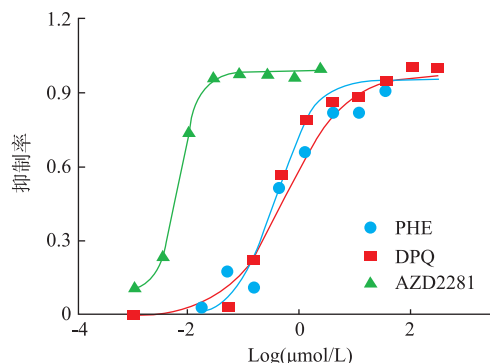
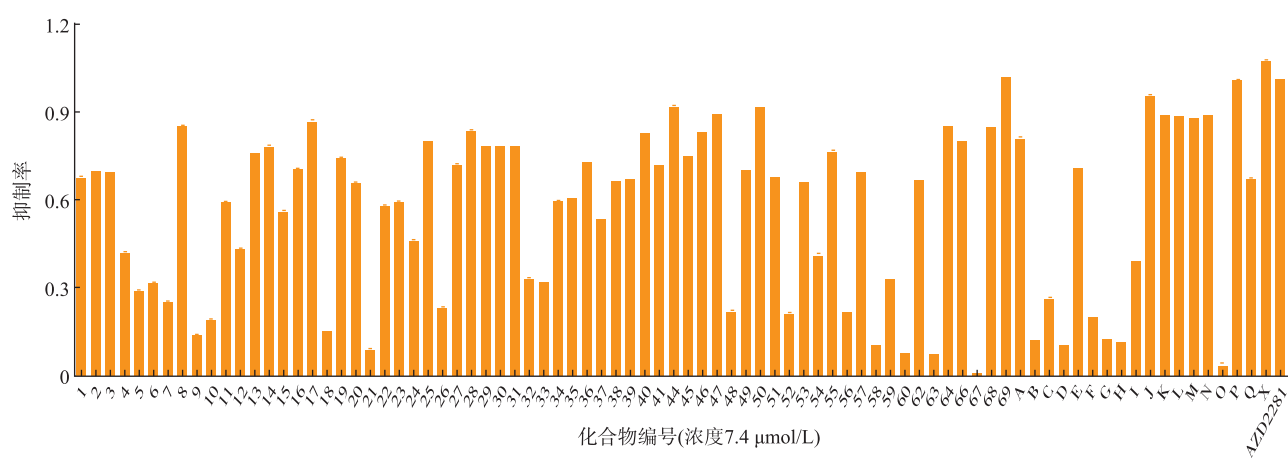


图6 PARP抑制剂的 $IC_{50}$ 测定

Fig. 6 Concentration-inhibition curve of PARP inhibitors on PARP-1



## 参考文献:

- [1] Woodhouse B C,Dianov G L. Poly ADP-ribose polymerase-1:An international molecule of mystery [J]. **DNA Repair (Amst)**, 2008,7(7):1077–1086.
- [2] Jagtap P,Szabo C. Poly(ADP-ribose) polymerase and the therapeutic effects of its inhibitors[J]. **Nat Rev Drug Discov**, 2005,4 (5):421–440.
- [3] Abd Elmageed Z Y,Naura A S,Errami Y,et al. The poly (ADP-ribose) polymerases (PARPs):New roles in intracellular transport[J]. **Cell Signal**, 2012,24(1):1–8.
- [4] Peralta-Leal A,Rodriguez-Vargas J M,Aguilar-Quesada R,et al. PARP inhibitors:New partners in the therapy of cancer and inflammatory diseases[J]. **Free Radic Biol Med**, 2009,47(1):13–26.
- [5] Lee J M,Ledermann J A,Kohn E C. PARP Inhibitors for BRCA1/2 mutation-associated and BRCA-like malignancies [J]. **Ann Oncol**, 2014,25(1):32–40.
- [6] Plummer R,Jones C,Middleton M,et al. Phase I study of the poly(ADP-ribose) polymerase inhibitor,AG014699,in combination with temozolomide in patients with advanced solid tumors[J]. **Clin Cancer Res**, 2008,14(23):7917–7923.
- [7] Ferraris D V. Evolution of poly(ADP-ribose) polymerase-1 (PARP-1) inhibitors:From concept to clinic[J]. **J Med Chem**, 2010,53 (12):4561–4584.
- [8] 柳军,张陆勇.聚腺苷二磷酸核糖聚合酶-1抑制剂高通量筛选模型[J].中国药理学通报,2007,23(1):124–127.  
LIU Jun,ZHANG Luyong. HTS model for Poly (ADP-ribose) polymerase-1 inhibitor [J]. **Chin Pharmacol Bull**, 2007,23(1): 124–127.(in Chinese)
- [9] 周海燕,马军,杨雪丽,等. hPARP1 酶在杆状病毒/昆虫细胞中的高表达及快速纯化[J]. 生物工程学报,2013,29(7):998–1005.  
ZHOU Haiyan,MA Jun,YANG Xueli,et al. Expression and purification of hPARP1 by baculovirus system [J]. **Chin J Biotech**, 2013,29(7):998–1005.(in Chinese)
- [10] Putt K S,Hergenrother P J. An enzymatic assay for poly(ADP-ribose) polymerase-1 (PARP-1) via the chemical quantitation of NAD (+):Application to the high-throughput screening of small molecules as potential inhibitors [J]. **Anal Biochem**, 2004,326 (1):78–86.
- [11] 王守宝,竺晓鸣,高峰,等. 仓鼠糜酶2抑制剂高通量筛选模型的建立及其应用[J]. 药学学报,2012,47(2):168–173.  
WANG Shoubao,ZHU Xiaoming,GAO Feng,et al. High-throughput screening for hamster chymase 2 inhibitors [J]. **Acta Pharmaceutica Sinica**, 2012,47(2):168–173.(in Chinese)
- [12] 王斯文,陈向东,汪辉,等.  $\beta$ -内酰胺酶抑制剂高通量筛选模型的建立[J]. 中国抗生素杂志,2013,38(2):102–105.  
WANG Siwen,CHEN Xiangdong,WANG Hui,et al. Establishment of high-throughput screening model for  $\beta$ -lactamase inhibitor [J]. **Chinese Journal of Antibiotics**, 2013,38(2):102–105.(in Chinese)
- [13] Geraets L,Moonen H J,Wouters E F,et al. Caffeine metabolites are inhibitors of the nuclear enzyme poly (ADP-ribose) polymerase-1 at physiological concentrations[J]. **Biochem Pharmacol**, 2006,72(7):902–910.
- [14] Decker P,Miranda E A,de Murcia G,et al. An improved nonisotopic test to screen a large series of new inhibitor molecules of poly(ADP-ribose) polymerase activity for therapeutic applications[J]. **Clin Cancer Res**, 1999,5(5):1169–1172.
- [15] Brown J A,Marala R B. Development of a high-throughput screening–amenable assay for human poly (ADP-ribose) polymerase inhibitors[J]. **J Pharmacol Toxicol Methods**, 2002,47(2):137–141.
- [16] Dillon K J,Smith G C,Martin N M. A flashplate assay for the identification of parp-1 inhibitors [J]. **J Biomol Screen**, 2003,8 (3):347–352.